

Physique-chimie 2

PSI

2020

CONCOURS CENTRALE SUPÉLEC

4 heures

Calculatrice autorisée

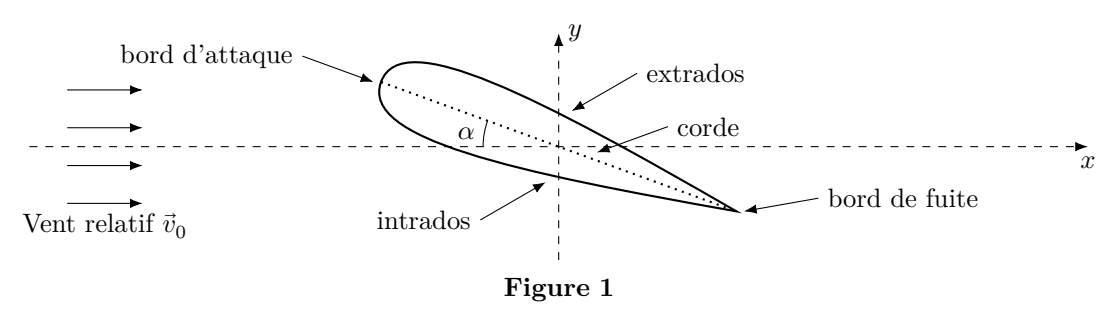
Étude simplifiée du vol d'un Airbus A320

Un formulaire et certaines valeurs numériques sont regroupées en fin d'énoncé.

I L'Airbus A320 en vol

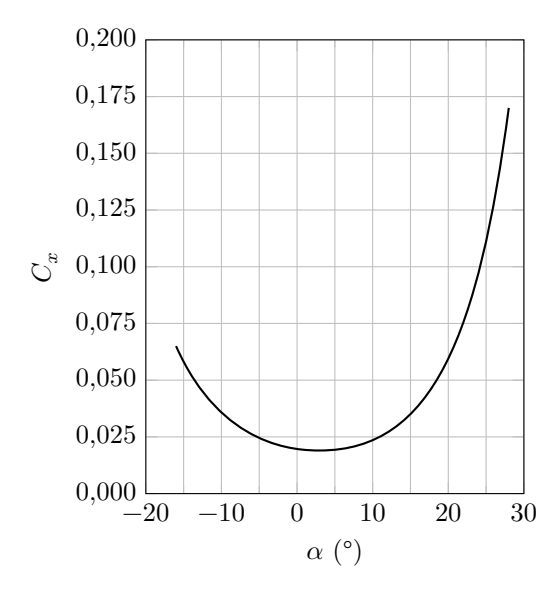
I.A - Éléments de description d'une aile

On considère un avion de ligne de type Airbus A320. L'avion, de masse $m=60\,000$ kg supposée constante, est équipé de deux turboréacteurs (un sous chaque aile) délivrant une poussée totale \vec{F} . La figure 1 rappelle la signification des termes utiles à la description d'une aile.



Chaque aile mesure environ 12 mètres de long et sa corde 3 mètres en moyenne. Le profil de chaque aile est supposé symétrique.

On se place dans le référentiel de l'avion (O,x,y) (figure 1). L'aéronef est dans un flux d'air unidirectionnel et stationnaire, dit vent relatif, de vitesse $\vec{v}_0 = v_0 \vec{e}_x$ et d'angle d'incidence α par rapport à l'aile. L'écoulement de l'air est partout supposé incompressible, homogène et stationnaire. Chaque aile subit alors une force de portance d'intensité $\frac{1}{2} \rho S v_0^2 C_y$ et une force de trainée d'intensité $\frac{1}{2} \rho S v_0^2 C_x$ où ρ est la masse volumique de l'air et S la surface portante de l'aile. La valeur des coefficients C_x et C_y varie avec l'angle d'incidence comme indiqué figure 2. Pour l'écoulement autour de l'aile, dans le cadre de ces hypothèses, vitesse v et pression P sont liées par la relation de Bernoulli $P + \frac{1}{2} \rho v^2 = P_t$ etc. P_t est appelé pression totale.



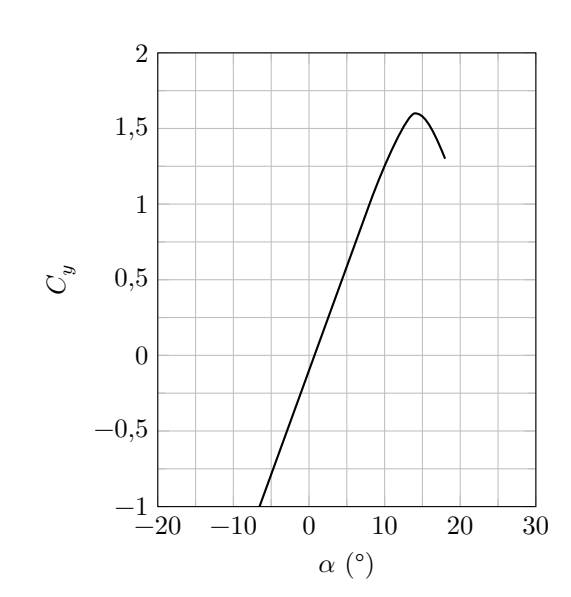


Figure 2

Q 1. Recopier sommairement le schéma de la figure 1 en y faisant figurer la résultante aérodynamique \vec{R} ainsi que ses composantes suivant les axes (Ox) et (Oy), notées \vec{R}_x et \vec{R}_y .

On appelle angle de calage, l'angle β que fait la corde des ailes avec l'axe longitudinal du fuselage de l'avion (figure 3). Pour l'avion étudié, il vaut 3°. On appelle assiette l'angle que fait l'axe longitudinal de l'avion avec l'horizontale et pente l'angle que fait le support de la vitesse du centre de masse de l'avion (sa trajectoire) avec l'horizontale. En vol horizontal (pente nulle) et à assiette nulle, la vitesse du centre de masse de l'avion est dirigée suivant son axe longitudinal. En phase de montée ou de descente, le pilote peut modifier l'assiette à pente constante, modifiant ainsi l'angle d'incidence.

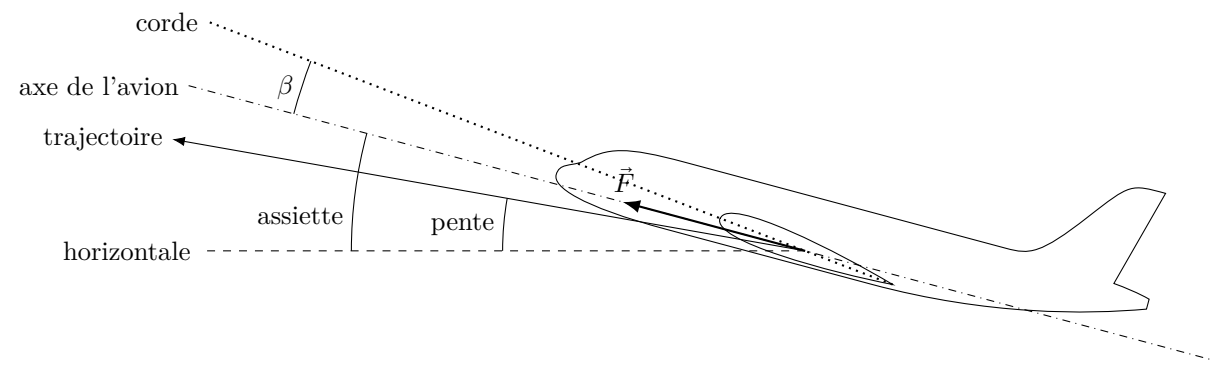


Figure 3

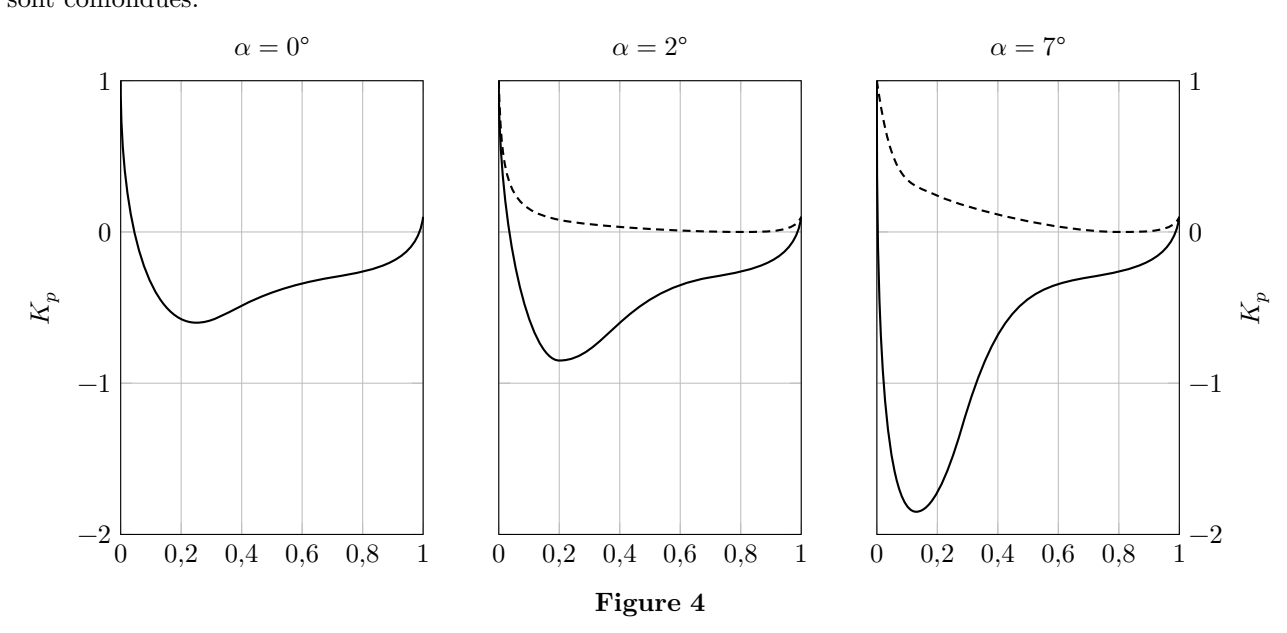
On suppose que le centre de poussée de l'avion correspond à son centre de masse et que la force de poussée totale \vec{F} produite par les deux turboréacteurs est dirigée selon l'axe longitudinal du fuselage (figure 3). On assimile les coefficients aérodynamiques C_x et C_y de l'avion à ceux des ailes. La vitesse du centre de masse de l'avion est considérée constante dans le référentiel terrestre, supposé galiléen.

Q 2. On considère l'avion en vol de croisière à pente et assiette nulles (trajectoire confondue avec l'axe de l'avion). Écrire, dans ces conditions, l'équation, dite de sustentation, liant la masse de l'avion m à C_y et l'équation, dite de propulsion, liant F à C_x .

Q 3. Estimer numériquement la vitesse de croisière et la poussée nécessaire à son maintien.

I.B - Rôle des ailes

En notant P_0 la pression en avant de l'avion, P la pression en un point de l'aile et P_t la pression totale en ce même point, on définit le coefficient de pression en ce point par $K_p = \frac{P-P_0}{P_t-P_0}$. La figure 4 donne l'allure du coefficient de pression d'une aile d'A320 pour trois valeurs d'angle d'incidence en fonction de la position le long de l'intrados et de l'extrados, 0 représentant le bord d'attaque et 1 le bord de fuite. La courbe en trait continu correspond à l'extrados, les pointillés à l'intrados. À incidence nulle, les courbes pour l'intrados et l'extrados sont confondues.



Q 4. À l'aide de la figure 4, expliquer l'existence d'une force de portance pour les angles d'incidence non nuls.

Q 5. Justifier que cette force de portance est nulle pour un angle d'incidence nul.

 ${f Q}$ 6. À partir de la figure 2, en considérant que la trajectoire est horizontale et que l'assiette est non nulle, expliquer l'existence d'une vitesse minimale v_{\min} , dite vitesse minimale de sustentation, en-deçà de laquelle la sustentation ne peut plus être assurée. On dit alors que l'avion décroche.

- **Q 7.** Exprimer la vitesse v_{\min} .
- **Q 8.** Pour l'aile considérée, estimer la valeur numérique de l'incidence permettant de voler à v_{\min} .
- ${\bf Q}$ 9. Estimer la valeur numérique de $v_{\rm min}$ pour l'aile considérée.
- Q 10. Pourquoi cette situation risque-t-elle de se présenter en phase d'atterrissage?

Afin de permettre un atterrissage en sécurité, les ailes d'avion sont équipées de becs sur le bord d'attaque et de volets sur le bord de fuite. Ces éléments mobiles permettent de modifier le profil de l'aile et de faire ainsi varier ses coefficients aérodynamiques et sa surface portante. La figure 5 montre l'influence des becs et des volets sur le C_y de l'aile.

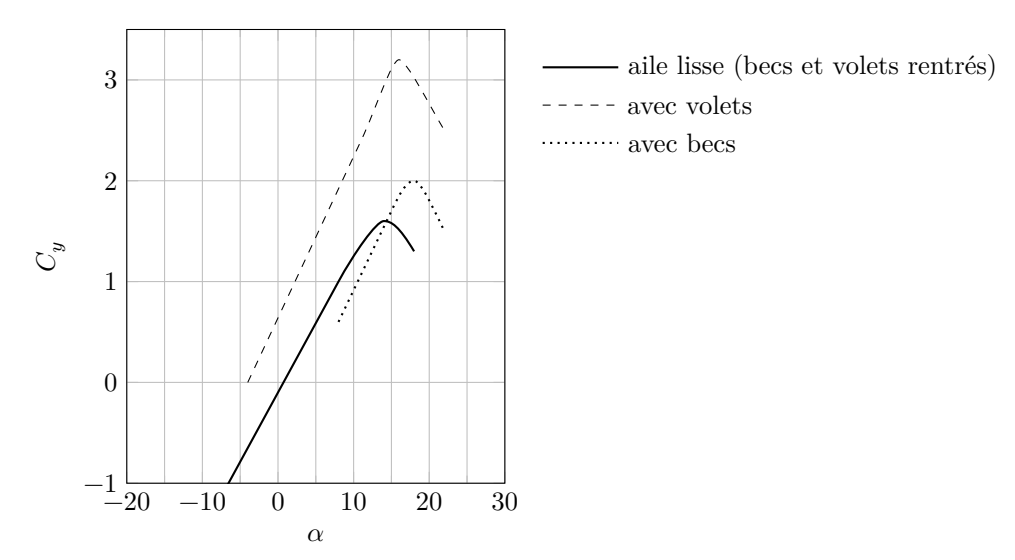


Figure 5

Q 11. En s'appuyant sur la figure 5 et en sachant que, pour des raisons de sécurité, l'atterrissage doit se faire à $250 \text{ km} \cdot \text{h}^{-1}$, discuter qualitativement le rôle des becs et des volets.

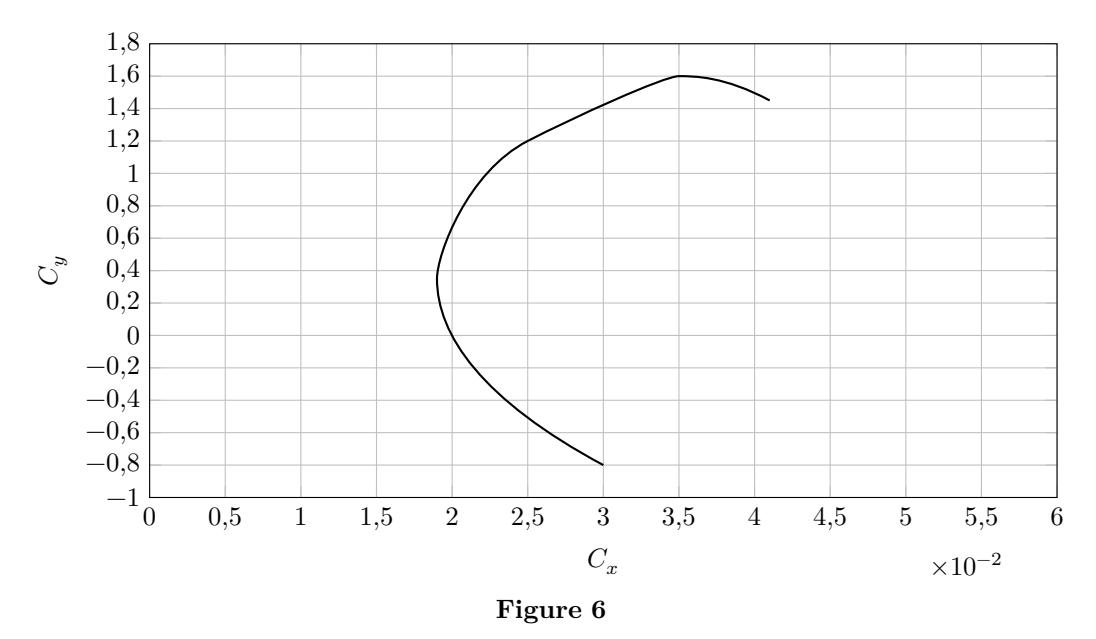
I.C - Le vol plané

2020-08-21 11:20:14

Le rendement d'une aile se caractérise par sa finesse, notée f. Considérons un avion en l'air qui coupe ses moteurs et poursuit en vol plané descendant (sans propulsion) à vitesse constante sur une pente constante avec une assiette non nulle. La finesse de l'avion est définie comme le rapport entre la distance horizontale parcourue avant d'atteindre le sol et la hauteur de chute.

Q 12. À partir d'un schéma représentant les forces s'exerçant sur l'avion, exprimer la finesse de l'aile en fonction du rapport C_y/C_x .

La figure 6 présente la polaire de type Eiffel de l'aile d'un A320. Il s'agit de la courbe représentant, pour un nombre de Reynolds donné, la valeur de C_y en fonction de celle de C_x pour chaque valeur de l'angle d'incidence.



Q 13. Comment se traduit graphiquement la finesse maximale sur la polaire de type Eiffel?

Q 14. En utilisant la figure 6, évaluer numériquement la finesse maximale de l'aile considérée.

- **Q 15.** En déduire la distance horizontale maximale que peut parcourir l'avion en vol plané en cas de panne de moteur à 1000 mètres au dessus du sol.
- **Q 16.** En réalité, la finesse de l'avion complet (ailes, fuselage, moteurs, empennage, dérive...) est deux fois moins importante que celle de ses ailes. Proposer une explication.

II Turboréacteur double corps, avec soufflante, à flux séparés

Cette partie étudie, de façon simplifiée, le fonctionnement du turboréacteur double-flux séparés et double-corps du type CFM56 qui équipe l'Airbus A320. Pour cela, on se place dans le cadre d'un test au sol sur un banc d'essai fixe. La figure 7 présente le schéma de principe simplifié du turboréacteur.

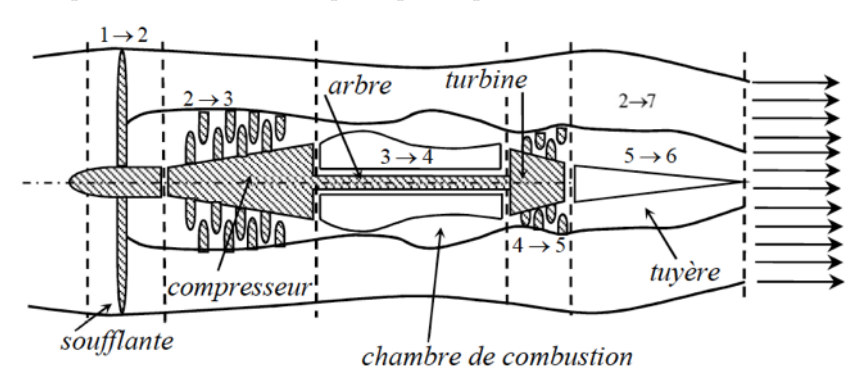


Figure 7

L'air est aspiré (étape $1 \to 2$) par la soufflante à la température $T_1 = 288$ K et à la pression $P_1 = 1$ bar. Il se divise ensuite en deux flux, le flux primaire de débit massique D_{m1} et le flux secondaire de débit massique D_{m2} . On note $\beta = D_{m2}/D_{m1} = 5,7$ le facteur de by-pass (taux de dilution) et $D_m = D_{m1} + D_{m2}$ le débit massique total. Le flux primaire, dit flux chaud du fait de son passage dans la chambre de combustion, décrit dans le corps principal du turboréacteur les étapes suivantes :

- $2 \rightarrow 3$, compression de P_2 à P_3 par un compresseur axial;
- $-3 \rightarrow 4$, dans la chambre de combustion où le carburant est injecté, le mélange air-carburant est chauffé par combustion. La flamme est confinée au voisinage des injecteurs alimentés par un débit de kérosène ici négligé devant celui de l'air qui traverse la chambre. La température (température de flamme) s'abaisse ensuite rapidement dans la chambre pour atteindre une valeur compatible avec la tenue des matériaux de la turbine. Les caractéristiques de l'air ne sont pas modifiées par la combustion. On prendra en sortie de la chambre de combustion $T_4 = 1450~\mathrm{K}$. La chambre est supposée isobare ;
- $-4 \rightarrow 5$, détente partielle dans la turbine axiale ;
- $5 \rightarrow 6$, détente dans la tuyère, de la pression P_5 , à vitesse supposée nulle, jusqu'à la pression ambiante $P_6 = 1$ bar où une première contribution à la poussée est produite.

Le flux secondaire, dit flux froid, s'écoule sans perte de charge autour du corps principal et passe directement dans une tuyère séparée de la première où l'essentiel de la poussée est produite. En sortie de cette tuyère $P_7 = 1$ bar et la température est notée T_7 .

Les taux de compression de la soufflante et du compresseur sont respectivement donnés par $P_2/P_1=2$ et $P_3/P_2=13$.

On suppose que le régime est stationnaire et que l'énergie potentielle de pesanteur du fluide est partout négligeable devant les autres grandeurs énergétiques. De même on négligera partout l'énergie cinétique du fluide sauf en sortie des tuyères. Les évolutions dans la tuyère, la turbine et le compresseur sont supposées adiabatiques et réversibles. Le système ne comporte aucune pièce mobile en dehors de la turbine, du compresseur et de la soufflante. Le compresseur, la turbine et la soufflante ont un arbre commun supposé sans perte mécanique. On néglige aussi les pertes mécaniques dans le compresseur et dans la turbine.

 ${f Q}$ 17. On modélise le kérosène par le décane $C_{10}H_{22}.$ En s'appuyant sur une modélisation qui sera justifiée, exprimer puis évaluer l'élévation maximale de température lors de la combustion d'une mole de décane en présence de la quantité juste suffisante d'air. Les produits obtenus sont du dioxyde de carbone et de l'eau.

Dans le cadre des hypothèses du problème, hormis dans la chambre de combustion, le travail massique utile reçu par le gaz pour une transformation de l'état i vers l'état j est donné par

$$w_{i\rightarrow j} = C_{p\,\mathrm{mass}}(T_j - T_i) + \frac{1}{2}(c_j^2 - c_i^2)$$

où c_i est la vitesse du gaz dans l'état i et c_j celle du gaz dans l'état j et où $C_{p \, \text{mass}}$ désigne la capacité thermique massique du gaz.

Q 18. Établir l'expression de la pression P_i en fonction de T_i , T_i , P_i et du coefficient isentropique de l'air γ .



- **Q 19.** En exploitant le couplage mécanique entre turbine, compresseur et soufflante, établir les expressions littérales et les valeurs numériques des températures T_2 , T_3 , T_5 et de la pression P_5 en sortie de turbine.
- **Q 20.** Établir l'expression littérale et la valeur numérique de c_6 , vitesse du gaz du flux chaud à la sortie de la tuyère.
- **Q 21.** Établir également l'expression littérale et la valeur numérique de c_7 , vitesse du gaz du flux froid à la sortie de la tuyère.
- **Q 22.** Par un bilan de quantité de mouvement sur une surface de contrôle judicieusement choisie, justifier que les poussées produites par les tuyères relatives aux flux chaud et froid sont respectivement données par : $F_c = D_{m1}c_6$ et $F_f = D_{m2}c_7$.
- **Q 23.** Exprimer la poussée F du turboréacteur complet uniquement en fonction de D_m , des vitesses d'éjection c_6 et c_7 et du facteur de by-pass.
- **Q 24.** En déduire l'expression et la valeur numérique de la poussée par unité de débit massique D_m , dite poussée spécifique du turboréacteur, notée F_s .
- Q 25. Quel est le pourcentage de la poussée assurée par le flux chaud?
- **Q 26.** Lors d'un essai au sol sur banc fixe, le turboréacteur délivre une poussée de 20 kN. Quel débit massique D_m doit alors assurer la soufflante?
- **Q 27.** Ce débit massique permet-il d'obtenir la même valeur de la poussée en vol de croisière ? Justifier qualitativement.

III NOx et production de gaz à effet de serre

En consommant du kérosène, les moteurs d'avions entrainent le rejet de nombreux polluants parmi lesquels les monoxyde d'azote NO et dioxyde d'azote NO, regroupés sous l'appellation NOx. Ces composés sont responsables d'une augmentation de la production d'ozone O3, gaz à effet de serre, dans la basse atmosphère.

Le monoxyde d'azote NO est obtenu par oxydation du diazote N_2 à haute température lors de la phase de combustion, modélisée par l'équation de réaction

$$N_{2(g)} + O_{2(g)} = 2 NO_{(g)}$$
 (III.1)

- Q 28. Calculer l'enthalpie standard de réaction associée à la réaction (III.1). Commenter.
- **Q 29.** En se plaçant dans l'approximation d'Ellingham, évaluer la fraction molaire de monoxyde d'azote NO présente à l'équilibre dans de l'air chauffé à 1450 K.

Dans un deuxième temps, il y a production de dioxyde d'azote NO_2 à partir du monoxyde d'azote NO_2 modélisée par l'équation de réaction

$$2 \text{ NO}_{(g)} + O_{2(g)} = 2 \text{ NO}_{2(g)}$$
 (III.2)

pour laquelle on donne l'expression de l'enthalpie libre standard de réaction dans le cadre de l'approximation d'Ellingham : $\Delta_r G^{\circ}(T) = -114, 4 + 0,1462 \, T$ en kJ·mol⁻¹ pour T en K.

La figure 8 fournit pour cette réaction les résultats d'une étude cinétique réalisée à $400\,\mathrm{K}$, où v représente la dérivée temporelle de l'avancement volumique de la réaction. Les concentrations initiales utilisées dans cette étude sont

- expérience 1 (tracé avec ×) : $[O_2]_0 = 5.0 \times 10^{-3} \text{ mol} \cdot L^{-1}$, $[NO]_0 = 10 \, \mu \text{mol} \cdot L^{-1}$, $[NO_2]_0 = 0$;
- expérience 2 (tracé avec +) : $[O_2]_0 = 2.0 \times 10^{-3} \text{ mol} \cdot \text{L}^{-1}$, $[NO]_0 = 10 \text{ } \mu\text{mol} \cdot \text{L}^{-1}$, $[NO_2]_0 = 0$.

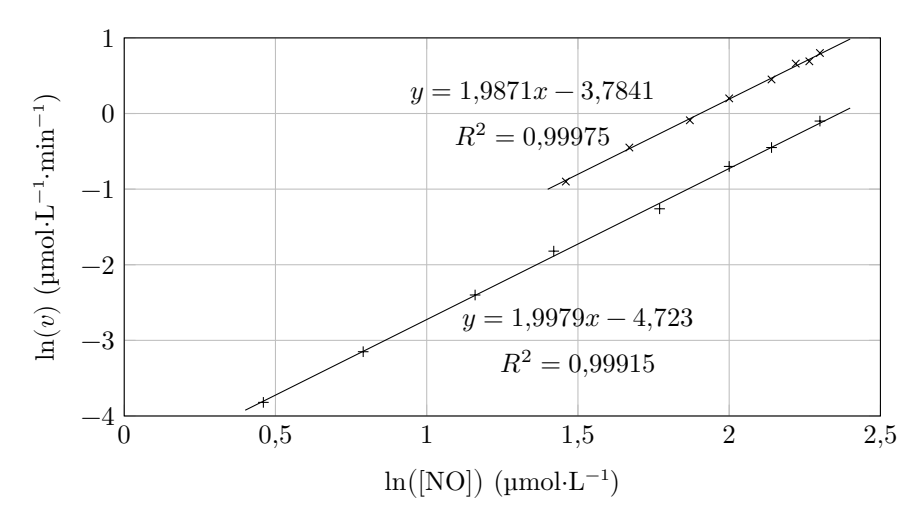


Figure 8

2020-08-21 11:20:14



Q 30. Commenter le choix de la température retenue pour l'étude cinétique.

Q 31. Utiliser les résultats précédents pour proposer une loi de vitesse pour la réaction III.2. Déterminer la valeur numérique de la constante de vitesse à la température considérée. La forme obtenue pour la loi de vitesse était-elle prévisible?

La production d'ozone initiée par les NOx dans la troposphère débute par la photodissociation du dioxyde d'azote NO_2 en NO et O. Il s'agit de la seule source d'atome d'oxygène susceptible de former de l'ozone O_3 par combinaison avec le dioxygène O_2 . La figure 9 donne l'évolution du rendement quantique primaire de dissociation, noté Φ , en fonction de la longueur d'onde de la radiation monochromatique incidente. Ce rendement est défini comme la fraction de molécules dissociées par rapport au nombre de photons absorbés.

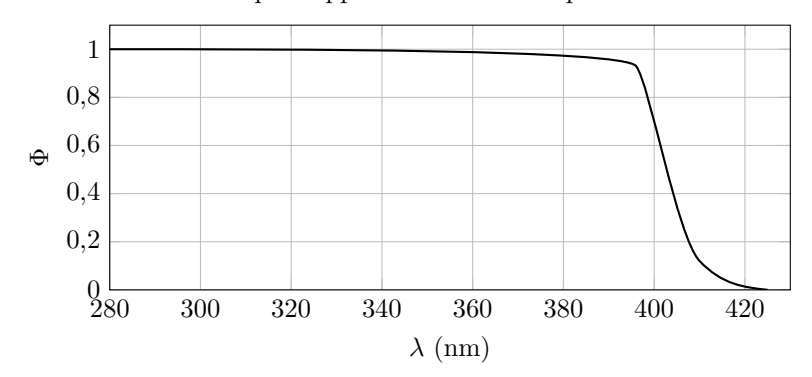


Figure 9

Q 32. Proposer un schéma de Lewis pour la molécule de dioxyde d'azote NO₂.

 ${f Q}$ 33. Évaluer l'énergie de liaison ON, aussi appelée enthalpie standard de dissociation, dans NO $_2$. Commenter la valeur trouvée.

IV Aluminium et alliage 2024

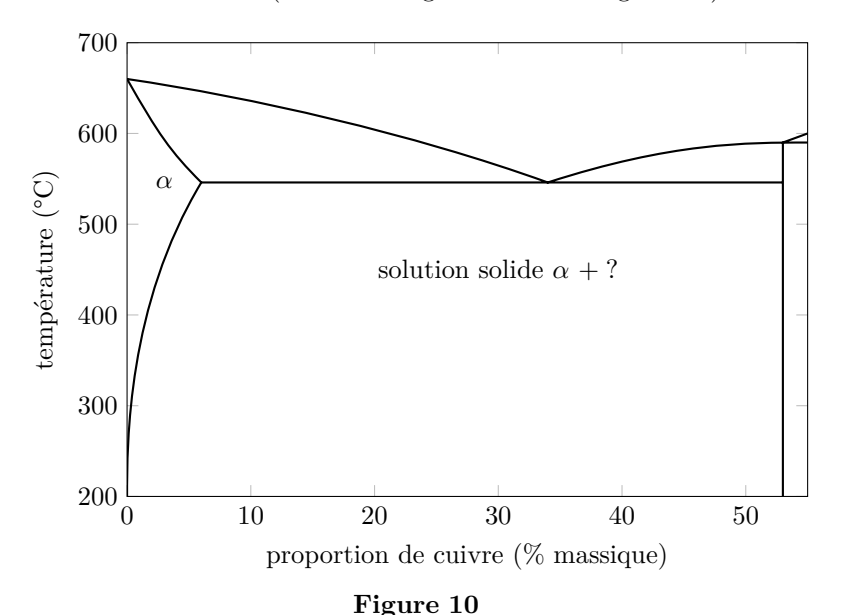
L'aluminium métal Al, de rayon atomique 143 pm, cristallise suivant une structure de type cubique à faces centrées (c.f.c.).

Q 34. L'acier possède une densité d = 7.8. Justifier l'emploi d'alliages d'aluminium plutôt que de l'acier en aéronautique.

La limite d'élasticité de l'aluminium pur $(60 \ and \ 70 \ MPa)$ est nettement insuffisante pour supporter les contraintes imposées en service aéronautique, ce qui impose son utilisation sous forme d'alliages $(58 \% \ en \ masse \ dans \ un \ airbus \ A320)$, comme l'alliage 2024 utilisé dans la structure et le revêtement du fuselage des avions, dont on se propose d'étudier quelques caractéristiques.

Dans ce qui suit, l'alliage 2024 sera assimilé à un alliage aluminium-cuivre à 4 % de cuivre en masse.

La figure 10 donne un extrait du diagramme binaire liquide-solide d'un mélange aluminium-cuivre. Les deux métaux présentent une « miscibilité partielle » pour de faibles teneurs en cuivre ; ils forment alors une solution solide α , mélange intime des deux métaux (domaine de gauche sur le diagramme).



 ${f Q}$ 35. Le diagramme de la figure 10 montre qu'il existe un composé défini. Déterminer sa composition ${\bf Al_xCu}$, avec x entier.

Q 36. Reproduire très schématiquement ce diagramme binaire en indiquant pour chaque domaine la nature des phases en présence.

 ${f Q}$ 37. Calculer le pourcentage massique des phases en présence dans l'alliage 2024 à l'équilibre à la température de 300 K.

L'alliage 2024 est relativement sensible à la corrosion, en particulier en milieu salin (cas des aéroports situés en bord de mer). La figure 11 présente de façon schématique le processus de corrosion par piqures en milieu marin (pH environ égal à 8).

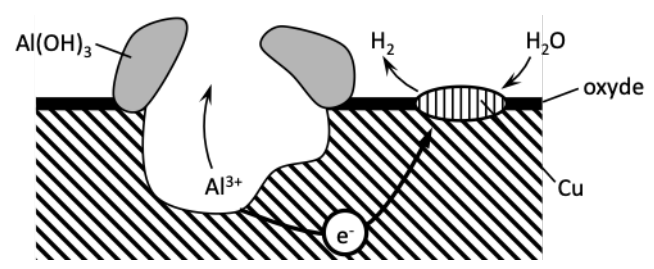


Figure 11 Phénomène de corrosion par piqure (d'apres *Techniques de l'ingénieur*, Corrosion des alliages d'aluminium, Reboul M.)

Q 38. L'étude de la corrosion de l'alliage passe par le tracé des courbes courant-potentiel pour les métaux concernés (aluminium et cuivre). Donner le schéma de principe du montage à trois électrodes utilisé, en précisant la nature et le rôle des électrodes utilisées et expliquer la nécessité d'utiliser trois électrodes plutôt que deux. Les courbes courant-potentiel obtenues ont l'allure représentée figure 12.

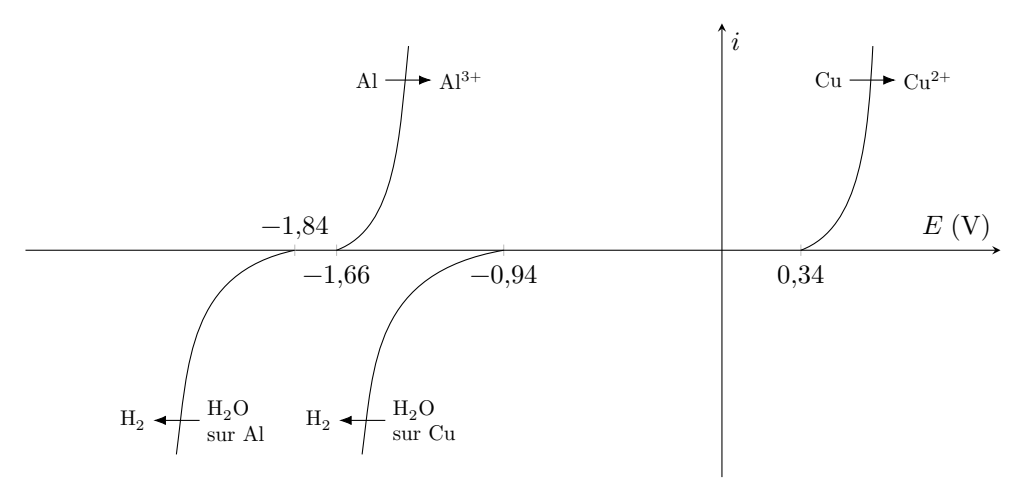


Figure 12

 ${f Q}$ 39. Écrire la demi-équation électronique associée au couple de l'eau ${f H}^+/{f H}_2$ en milieu acide, puis en milieu basique.

Q 40. Calculer le potentiel standard apparent (à pH = 14) d'oxydoréduction du couple H_2O/H_2 et justifier à postériori le tracé des courbes courant-potentiel correspondantes.

Q 41. Écrire l'équation de réaction modélisant la transformation observée lors du phénomène de corrosion par piqures.

Q 42. Après avoir reproduit schématiquement les branches anodique et cathodique impliquées dans le processus, placer le potentiel de corrosion et indiquer comment relever la valeur du courant de corrosion. Justifier l'appellation de pile de corrosion.

En présence d'ions chlorure Cl^- , les ions aluminium III Al^{3+} conduisent à la formation quantitative de l'ion $AlCl_4^-$. Par ailleurs, la formation de l'ion aluminium III Al^{3+} en présence d'ion chlorure entraine une acidification locale du milieu. Le pH en fond de piqure atteint ainsi une valeur inférieure à 3.

Q 43. En supposant les surtensions à vide inchangées, positionner de façon qualitative les courbes anodique et cathodique modifiées, en justifiant succinctement le cas échéant la modification effectuée. Commenter.

La figure 13 donne les diagrammes potentiel-pH pour les couples de l'eau et de l'aluminium à la concentration de travail $c_t = 1 \text{ mol} \cdot \text{L}^{-1}$ et à 25 °C.

Q 44. Établir l'équation de la frontière séparant les domaines de l'ion aluminium Al^{3+} et de l'hydroxyde d'aluminium solide $Al(OH)_3$.

Q 45. Expliquer comment le phénomène de corrosion par piqure est susceptible d'être enrayé par la passivation de la cavité créée.

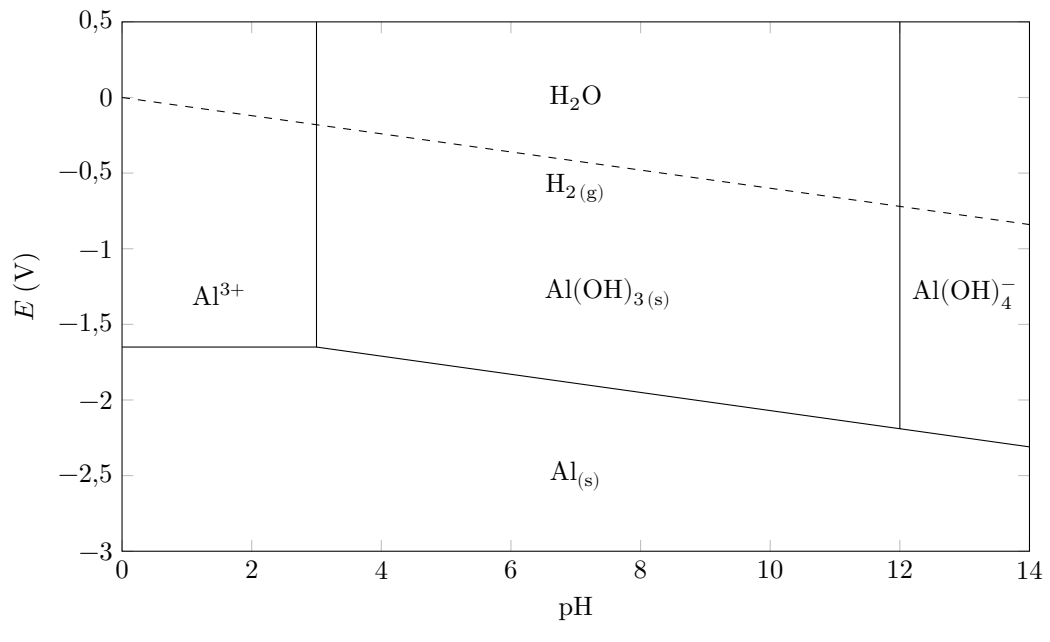


Figure 13

Données

 $q = 9.8 \,\mathrm{m \cdot s^{-2}}$

Sauf indication contraire, les valeurs dépendantes de la température sont fournies à 298 K.

Accélération de la pesanteur terrestre

Composition de l'air $N_2:80\%, O_2:20\%$

Masse volumique de l'air sous une pression de 1 bar $\rho = 1.2 \; \rm kg \cdot m^{-3}$ Viscosité dynamique de l'air $\eta = 1.8 \times 10^{-5} \; \rm Pa \cdot s$

Coefficient isentropique de l'air $\gamma = 1,4$

Capacité thermique massique à pression constante de l'air $C_{p\,\mathrm{mass}}=1,0\times10^3\;\mathrm{J\cdot kg^{-1}\cdot K^{-1}}$

Constante des gaz parfaits $R = 8{,}314 \text{ J} \cdot \text{K}^{-1} \cdot \text{mol}^{-1}$ Constante de Boltzmann $k_B = 1{,}381 \times 10^{-23} \text{ J} \cdot \text{K}^{-1}$ Constante de Planck $h = 6{,}626 \times 10^{-34} \text{ J} \cdot \text{s}$

Vitesse de la lumière dans le vide $c = 3{,}00 \times 10^8 \; \mathrm{m \cdot s^{-1}}$ Constante d'Avogadro $\mathcal{N}_A = 6{,}02 \times 10^{23} \; \mathrm{mol^{-1}}$

Constante d'Avogadro $\mathcal{N}_A = 6.02 \times 10^{-6} \text{ mol}^{-1}$ Constante de Faraday $F = 9.64 \times 10^3 \text{ C} \cdot \text{mol}^{-1}$ Expansio de liviege (l'Arred⁻¹)

Énergie de liaison (kJ·mol⁻¹) N-O:210; N=O:630

Produit de solubilité de $Al(OH)_3$ $pK_s = 33$ $Produit ionique de <math>H_2O$ $pK_e = 14$

Potentiels standard redox $Al^{3+}/Al_{(s)}: -1,66 \ V$ $H^{+}/H_{2\,(g)}: 0,00 \ V$ $Cu^{2+}/Cu_{(s)}: 0,34 \ V$

Surtensions à vide $\eta_{c0}(\mathrm{H_2O/H_2}):-0.1\,\mathrm{V}$ sur Cu, $-1\,\mathrm{V}$ sur Al

Enthalpies standard de formation, entropies molaires et capacités thermiques à pression constante

	$C_{10}H_{22(l)}$	$\mathrm{CO}_{2\mathrm{(g)}}$	$\rm H_2O_{(g)}$	$O_{2(g)}$	$N_{2(g)}$	$NO_{(g)}$
$\Delta_f H^{\circ} \text{ (kJ·mol}^{-1})$	-249,7	-393,5	-241,8			90,4
$S_m^{\circ} (\mathbf{J} \cdot \mathbf{mol}^{-1} \cdot \mathbf{K}^{-1})$	545,8	213,8	188,8	205,0	191,5	210,6
$C_p^{\circ} (J \cdot \text{mol}^{-1} \cdot \text{K}^{-1})$	233,1	38,5	36,2	29,3	28,7	



][]			
Helium 2 He 4,0026	Neon 10 Ne Ne Ne 20,180 18 Argon 18 Ar 39,948	Krypton 36 Kr Kr 83,798	Xénon 54 Xe Xe 131,29	Radon 86 Rn [222]
	Fluor 9 P	35 Br 79,904	126,90	Astate 85 At [210]
	Oxygène 8 O 15,999 Soufre 16 S 32,068	Selénium 34 Selénium 78,971	Tellure 52 Te Tellore 127,60	Polonium 84 Po Po Po Po Po Po Po Po
	Azote 7 N 14,007 Phosphore 15 P 30,974	Arsenic 33 As 74,921	Antimoine 51 Sb 121,76	Bismuth 83 Bi 208,98
	Carbone 6 C C Silicium 14 Silicium 14 Silicium 28,085	Germanium 32 Ge 72,630	Etain 50 Sn 118,71	Plomb 82 Pb 207,2
	Bore 5 B B 10,814 Aluminium 13 Al 26,982	Gallium 31 Ga 69,723	Indium 49 In Indium 114,82	Thallium 81 Tl 204,38
	,	Zinc 30 Zn 65,38	Cadmium 48 Cd 112,41	Mercure 80 Hg 200,59
		Cuivre 29 Cu 63,546	Argent 47 Ag 107,87	or 79 Au 196,97
		Nickel 28 Ni Ni Ni Ni Ni Ni Ni 58,693	Palladium 46 Pd 106,42	Platine 78 Pt 195,08
		Cobalt CO 58,933	Rhodium 45 Rh 102,91	Iridium 77 Ir
		Fer 26 Fe	Ruthénium 44 Ru 101,07	Osmium 76 OS 190,23
		Manganèse 25 Mn 54,938	Technétium 43 Tc [98]	Rhénium 75 Re 186,21
		Chrome 24 Cr 51,996	Molybdène 42 Mo 95,95	Tungstène 74 W 183,84
Nom de l'élément Numéro atomique Symbole chimique Masse molaire atomique		23 V 50,941	Niobium 41 Nb 92,906	Hafnium Tantale 72 73 Hf Ta 178,49 180,948
		Titane 22 Ti 47,867	Zirconium 40 Zr 91,224	Hafnium 72 Hf 178,49
Nom de l'élément Numéro atomique Symbole chimique Masse molaire ato		Scandium 21 Sc 44,956	39 Y X 88,906	
← Nom ← Num ← Symk ← Mass	### Betyllium ### ### ### ### #### #### #### ####	Calcium 20 Ca 40,078	Strontium 38 Sr 87,62	Baryum 56 Ba 137,33
Hydrogène 1 1,0080	Lithium 3 Li 6,9395 Sodium 11 Na 22,990	Potassium 119 K K 39,098	Rubidium 37 Rb 85,467	Césium 55 CS CS 132,91

• • • FIN • • •